

Starkniederschlagshöhen und -spenden gemäß KOSTRA-DWD-2010R

Auswertungszeitraum von 1951 - 2010, Januar - Dezember

Rasterfeld: 17042

Zeile: 17

Spalte: 42

Seite: 1/2

| Dauerstufe D | Wiederkehrzeit T | | | | | | | | | | | | | | | | | | |
|--------------|------------------|------|------------|------|------------|------|------------|------|------------|------|------------|------|------------|------|------------|-------|------------|-------|------------|
| | 1 a | | 2 a | | 3 a | | 5 a | | 10 a | | 20 a | | 30 a | | 50 a | | 100 a | | |
| min | Std | mm | l / (s ha) | mm | l / (s ha) | mm | l / (s ha) | mm | l / (s ha) | mm | l / (s ha) | mm | l / (s ha) | mm | l / (s ha) | mm | l / (s ha) | mm | l / (s ha) |
| 5 | | 4,7 | 156,7 | 5,8 | 193,3 | 6,4 | 213,3 | 7,2 | 240,0 | 8,3 | 276,7 | 9,4 | 313,3 | 10,0 | 333,3 | 10,8 | 360,0 | 11,8 | 393,3 |
| 10 | | 7,3 | 121,7 | 8,9 | 148,3 | 9,9 | 165,0 | 11,1 | 185,0 | 12,6 | 210,0 | 14,2 | 236,7 | 15,2 | 253,3 | 16,4 | 273,3 | 18,0 | 300,0 |
| 15 | | 9,0 | 100,0 | 11,0 | 122,2 | 12,2 | 135,6 | 13,7 | 152,2 | 15,7 | 174,4 | 17,7 | 196,7 | 18,9 | 210,0 | 20,4 | 226,7 | 22,4 | 248,9 |
| 20 | | 10,1 | 84,2 | 12,5 | 104,2 | 13,9 | 115,8 | 15,7 | 130,8 | 18,1 | 150,8 | 20,4 | 170,0 | 21,8 | 181,7 | 23,6 | 196,7 | 26,0 | 216,7 |
| 30 | | 11,6 | 64,4 | 14,6 | 81,1 | 16,4 | 91,1 | 18,6 | 103,3 | 21,6 | 120,0 | 24,6 | 136,7 | 26,4 | 146,7 | 28,6 | 158,9 | 31,6 | 175,6 |
| 45 | | 12,9 | 47,8 | 16,7 | 61,9 | 18,9 | 70,0 | 21,7 | 80,4 | 25,5 | 94,4 | 29,3 | 108,5 | 31,5 | 116,7 | 34,3 | 127,0 | 38,1 | 141,1 |
| 60 | | 13,6 | 37,8 | 18,1 | 50,3 | 20,7 | 57,5 | 24,0 | 66,7 | 28,5 | 79,2 | 33,0 | 91,7 | 35,6 | 98,9 | 38,9 | 108,1 | 43,4 | 120,6 |
| 90 | | 15,0 | 27,8 | 19,9 | 36,9 | 22,7 | 42,0 | 26,2 | 48,5 | 31,1 | 57,6 | 35,9 | 66,5 | 38,7 | 71,7 | 42,2 | 78,1 | 47,1 | 87,2 |
| 120 | 2 | 16,2 | 22,5 | 21,2 | 29,4 | 24,2 | 33,6 | 27,9 | 38,8 | 33,0 | 45,8 | 38,1 | 52,9 | 41,1 | 57,1 | 44,8 | 62,2 | 49,9 | 69,3 |
| 180 | 3 | 17,9 | 16,6 | 23,3 | 21,6 | 26,5 | 24,5 | 30,5 | 28,2 | 36,0 | 33,3 | 41,4 | 38,3 | 44,6 | 41,3 | 48,6 | 45,0 | 54,1 | 50,1 |
| 240 | 4 | 19,2 | 13,3 | 24,9 | 17,3 | 28,3 | 19,7 | 32,5 | 22,6 | 38,3 | 26,6 | 44,0 | 30,6 | 47,4 | 32,9 | 51,6 | 35,8 | 57,3 | 39,8 |
| 360 | 6 | 21,2 | 9,8 | 27,4 | 12,7 | 31,0 | 14,4 | 35,6 | 16,5 | 41,7 | 19,3 | 47,9 | 22,2 | 51,5 | 23,8 | 56,0 | 25,9 | 62,2 | 28,8 |
| 540 | 9 | 23,5 | 7,3 | 30,1 | 9,3 | 34,0 | 10,5 | 38,9 | 12,0 | 45,5 | 14,0 | 52,1 | 16,1 | 56,0 | 17,3 | 60,9 | 18,8 | 67,5 | 20,8 |
| 720 | 12 | 25,2 | 5,8 | 32,2 | 7,5 | 36,3 | 8,4 | 41,4 | 9,6 | 48,4 | 11,2 | 55,4 | 12,8 | 59,5 | 13,8 | 64,6 | 15,0 | 71,6 | 16,6 |
| 1080 | 18 | 27,9 | 4,3 | 35,4 | 5,5 | 39,8 | 6,1 | 45,3 | 7,0 | 52,8 | 8,1 | 60,3 | 9,3 | 64,7 | 10,0 | 70,2 | 10,8 | 77,7 | 12,0 |
| 1440 | 24 | 30,0 | 3,5 | 37,9 | 4,4 | 42,5 | 4,9 | 48,3 | 5,6 | 56,2 | 6,5 | 64,1 | 7,4 | 68,7 | 8,0 | 74,5 | 8,6 | 82,4 | 9,5 |
| 2880 | 48 | 37,2 | 2,2 | 46,9 | 2,7 | 52,6 | 3,0 | 59,8 | 3,5 | 69,5 | 4,0 | 79,2 | 4,6 | 84,9 | 4,9 | 92,1 | 5,3 | 101,9 | 5,9 |
| 4320 | 72 | 42,1 | 1,6 | 52,9 | 2,0 | 59,3 | 2,3 | 67,2 | 2,6 | 78,0 | 3,0 | 88,9 | 3,4 | 95,2 | 3,7 | 103,2 | 4,0 | 114,0 | 4,4 |

Angaben in mm: Bemessungsniederschlagswerte h(n)

Angaben in l / (s ha): Regenspende R(n) mit $R(n) = h(n) \times 1,666667 / D[\text{min}]$

Toleranzbereiche:

+/- 10 % für $1 a \leq T \leq 5 a$

+/- 15 % für $5 a < T \leq 50 a$

+/- 20 % für $50 a < T \leq 100 a$

Datenbasis: KOSTRA-DWD-2010R des Deutschen Wetterdienstes. Die Regenspende wurde auf Basis des Bemessungsniederschlags zur jeweiligen Andauer berechnet.

Für die Richtigkeit und Aktualität der Angaben wird keine Gewähr übernommen. Erstellt 07/2022.

Starkniederschlagshöhen und -spenden gemäß KOSTRA-DWD-2010R

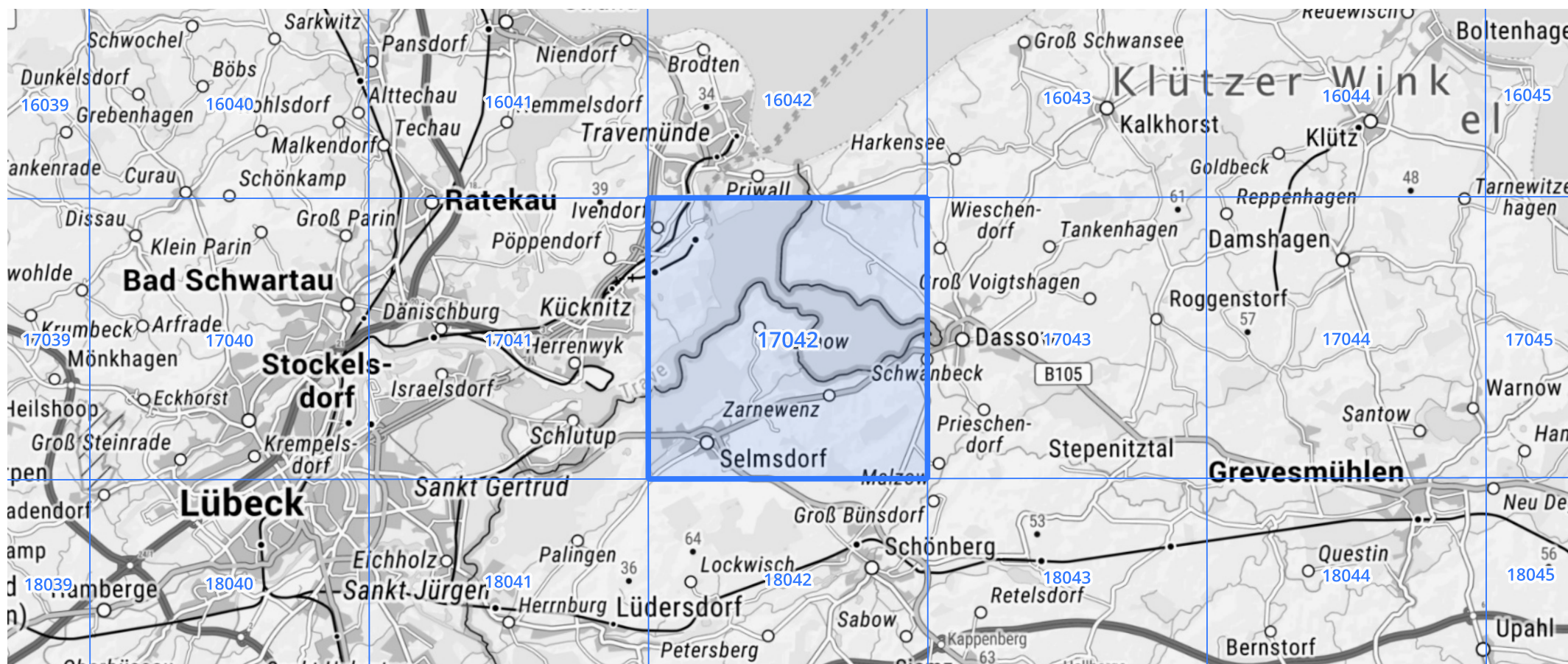
Auswertungszeitraum von 1951 - 2010, Januar - Dezember

Rasterfeld: 17042

Zeile: 17

Spalte: 42

Seite: 2/2



Quelle Rasterdaten: KOSTRA-DWD-2010R des Deutschen Wetterdienstes.

Kartendarstellung: © Bundesamt für Kartographie und Geodäsie (2022), Datenquellen: https://sgx.geodatenzentrum.de/web_public/gdz/datenquellen/Datenquellen_TopPlusOpen.html

Für die Richtigkeit und Aktualität der Angaben wird keine Gewähr übernommen. Erstellt 07/2022.